

β -CD 改性 PVDF-HFP 复合聚乙烯凝胶聚合物电解质的性能

李明晔¹, 李 钊¹, 周敬源², 郭红霞^{1*}

(1. 北京工业大学 材料科学与工程学院, 北京 100124;
2. 江苏北星新材料科技有限公司, 常州 213300)

摘要:采用溶液浇铸法将含 β -环糊精(β -CD)添加剂的聚偏氟乙烯-六氟丙烯(PVDF-HFP)浇涂于预处理的聚乙烯(PE)基体上,制备了 PVDF-HFP/ β -CD@PE 复合凝胶聚合物电解质。利用 SEM、FTIR、交流阻抗法、计时电流法等对凝胶聚合物电解质膜的表面形貌、结构等物理和电化学性能进行表征,探究了不同 β -CD 添加量对 PVDF-HFP/ β -CD@PE 复合凝胶聚合物电解质的结构与电化学性能的影响。结果表明,当 β -CD 添加质量分数为 5.0% 时,得到的复合凝胶聚合物电解质的离子电导率、锂离子迁移数和电化学稳定窗口分别为 4.85×10^{-4} S/cm、0.77 和 5.2 V(vs Li⁺/Li),以其组装的 Li || LiFePO₄ 电池的放电比容量为 160.4 mAh/g,循环 150 圈仍保持稳定。

关键词:聚烯烃隔膜;聚偏氟乙烯-六氟丙烯共聚物; β -环糊精;凝胶聚合物电解质

中图分类号: TM911.3; TQ028 **文献标志码:** A **文章编号:** 1007-8924(2025)01-0011-09

doi: 10.16159/j.cnki.issn1007-8924.2025.01.002

锂离子电池(LIB)由于具有比能量高、放电电压高、循环性能良好、充放电效率高等优点,在电动汽车和便携式电子产品等领域得到广泛应用^[1-2]。隔膜作为 LIB 的重要组成部分之一,承担着隔绝阳极和阴极、储存电解质以及传输离子等作用^[3]。聚烯烃因具有良好的机械性能、优异的电化学稳定性和热稳定性等特点,被认为是一种理想的隔膜材料^[4]。然而,聚烯烃隔膜极性较弱、表面能较低,导致其与有机电解液的润湿效果较差,影响了其电化学性能和安全性^[5]。因此,研究者们^[6-10]通常在聚烯烃隔膜表面构筑稳定修饰层,以增强隔膜的润湿性能和电化学性能,提高锂电池的整体性能和安全性。

PVDF 共聚物含有强吸电子基团(—C—F—),具有较高的介电常数(ϵ 为 8.4),有利于促进锂盐溶解,提高载流子浓度^[11]。此外,PVDF 共聚物分子间的相互作用有利于形成均匀、连续的薄膜结构^[12],因此,PVDF 共聚物被应用于涂覆改性聚烯烃隔膜,制备的复合聚合物电解质隔膜显示出较高的离子电导率(可达 4.15×10^{-4} S/cm)^[13]。尽管 PVDF 共聚物改性的聚烯烃隔膜表现出优异的性能,但应用于锂电池时仍含有电解液,电池运行过程的安全问题仍不容忽视^[14]。

相较于传统液态锂电池隔膜,凝胶电解质(GPE)作为一种半固态电解质体系,具有较低的电

收稿日期: 2024-06-18; 修改稿收到日期: 2024-07-19

基金项目: 国家自然科学基金面上项目(22178007)

第一作者简介: 李明晔(1999-),女,北京市平谷人,博士生,研究方向为锂电池电解质膜及其性能。*通讯作者, E-mail: hxguo@bjut.edu.cn

引用本文: 李明晔,李 钊,周敬源,等. β -CD 改性 PVDF-HFP 复合聚乙烯凝胶聚合物电解质的性能[J]. 膜科学与技术,2025,45(1):11-19.

Citation: Li M Y, Li F, Zhou J Y, et al. Properties of β -CD modified PVDF-HFP composite polyethylene gel polymer electrolyte[J]. Membrane Science and Technology(Chinese), 2025, 45(1):11-19.

解液挥发性、较高的离子传输性与界面相容性,能有效提升电池的安全性和稳定性。Zhang 等^[15]以羟乙基纤维素(HEC)为基底制备了三明治结构的 PVDF/HEC/PVDF 凝胶聚合物电解质,组装的 Li||LiFePO₄电池在 0.2 C 下循环 140 圈仍保持稳定。还有研究^[16]采用聚烯烃隔膜为基体,在其表面涂覆 PVDF、醋酸丁酸纤维素与卡波树脂凝胶聚合物,制得复合聚烯烃基凝胶电解质膜,具有较好的抗热收缩性能与电化学稳定性,以锂金属为负极、钴酸锂为正极组装的电池具有高的安全性能与长的使用寿命,循环 50 圈未发生电池短路现象。但 PVDF 共聚物改性聚烯烃复合 GPE 存在部分结晶区域,一定程度上限制了离子传输的效率^[17~18],且与电极的界面相容性仍有待进一步提高。

β -环糊精(β -CD)是由葡萄糖单元组成的环状绿色天然材料,含有大量醚键(C—O—C),能为 Li⁺传输提供结合位点,其外表面含有丰富的羟基(-OH)基团,可与 F、O、N 电负性大的原子形成氢键,有助于提高电化学稳定性及离子传输性能。因此,本研究采用 β -CD 改性 PVDF-HFP 复合电解质,将其涂覆于表面活性剂处理的 PE 隔膜表面,制备 PVDF-HFP/ β -CD@PE 凝胶聚合物电解质,探究 β -CD 对凝胶聚合物电解质膜表面形貌、结构及电化学性的影响。由于 PVDF-HFP 中 F 原子的电负性较大,具有较强的吸电子能力和较高的电子密度,能与 β -CD 分子的多羟基(-OH)产生氢键相互作用,形成聚合物交联网络结构,为锂离子传输提供更多路径,并改善界面相容性。此外,氢键网络结构可降低 PVDF-HFP 的结晶度,提高其离子传递特性,使锂电池表现较好的充放电性能与循环性能。

1 实验部分

1.1 实验原料与试剂

聚乙烯隔膜(PE, 厚度为 9 μm)由江苏北星新材料科技有限公司提供; β -环糊精(β -CD, 分析纯)购于山东滨州智源生物科技有限公司;聚偏氟乙烯-六氟丙烯(PVDF-HFP, $M_w \sim 400\,000$)购自美国密苏里州 Sigma-Aldrich 公司;磷酸铁锂(LFP)、乙炔黑、双(三氟甲烷)磺酰亚胺锂(LiTFSI)、乙醇、*N*-甲基吡咯烷酮(NMP)、商用电解液[1 mol/L, V(LiPF₆) EC : V(DMC) = 1 : 1]购自上海阿拉丁生化科技股份有限公司;以上试剂均为分析纯,且未经特殊处理。去离子水为实验室自制。

1.2 PH/ β @PE 复合凝胶电解质的制备

将 PVDF-HFP 溶于 NMP 中得到质量浓度为 3.3 g/mL 的溶液,向其中加入质量分数 0~9.0% β -CD 和 30% LiTFSI,充分搅拌后得到聚电解质铸膜液。然后,将该铸膜液浇铸于表面活性剂改性后的 PE 隔膜表面,涂覆均匀后,置于 60 °C 真空烘箱干燥 48 h,得到 PVDF-HFP/ β -CD@PE 聚电解质复合膜(PH/ β @PE)。将 PH/ β @PE 电解质复合膜置于惰性气氛的手套箱中,经商用电解液活化后,得到 PH/ β @PE 凝胶聚合物电解质。 β -CD 质量分数分别为 0、1.0%、3.0%、5.0%、7.0% 和 9.0% 时制备的 PH/ β @PE 复合凝胶电解质膜分别命名为 PH/ β @PE-0、PH/ β @PE-1、PH/ β @PE-2、PH/ β @PE-3、PH/ β @PE-4、PH/ β @PE-5。

1.3 PH/ β @PE 复合凝胶电解质的表征

采用 SU8020 扫描电子显微镜(SEM, Hitachi, 日本)观察 PH/ β @PE 复合电解质膜的表面形貌,并用其附带的能谱仪(EDS)分析膜表面的元素组成及含量;采用 Vertex-70 型红外光谱仪(Bruker, 德国)分析 PH/ β @PE 复合电解质膜的结构及所含官能团,扫描范围为 400~2 500 cm^{-1} ,分辨率为 2 cm^{-1} 。采用 DSA-100 型接触角仪(Cloos, 德国)表征 PH/ β @PE 复合电解质膜表面的润湿性变化。复合凝胶电解质膜的吸液率(Φ , %)由公式(1)计算^[8]:

$$\Phi = \frac{m_1 - m_0}{m_0} \times 100\% \quad (1)$$

式中: m_0 为 PH/ β @PE 电解质膜浸泡电解液前的质量,g; m_1 为 PH/ β @PE 电解质膜浸泡电解液 6 h 后的质量,g。

1.4 PH/ β @PE 复合凝胶电解质的电化学性能

将 PH/ β @PE 电解质膜组装 SS||PH/ β @PE||SS(SS: 不锈钢)电池,在 25 °C,频率范围为 0.1~10⁵ Hz 的条件下,通过电化学工作站(DH7000, 江苏东华分析仪器有限公司)测试本体阻抗(R_b , Ω),根据公式(2)计算 PH/ β @PE 复合凝胶电解质的离子电导率(σ , S/cm)。

$$\sigma = \frac{L}{R_b S} \quad (2)$$

式中: L 为 GPE 的厚度, cm; S 为电极和 GPE 之间的接触面积, cm^2 ^[19]。组装 Li||PH/ β @PE||Li 电池,通过计时电流法,在电池两端施加 0.01 V 恒定极化电压($\Delta V, V$),测试电池极化过程中的电流及

阻抗变化,并根据公式(3)计算PH/β@PE复合凝胶电解质的锂离子迁移数(t_{Li^+})^[20]:

$$t_{Li^+} = \frac{I_{ss}(\Delta V - I_0 R_0)}{I_0(\Delta V - I_{ss}R_{ss})} \quad (3)$$

式中: I_0 和 I_{ss} 分别为初始电流和稳态电流,A; R_0 和 R_{ss} 分别为极化前后阻抗, Ω .组装SS||PH/β@PE||Li非对称电池,采用线性循环伏安法(LSV),测试PH/β@PE复合凝胶电解质的电化学稳定窗口。

将PH/β@PE复合凝胶电解质与LiFePO₄(LFP)正极(质量分数80%LiFePO₄,10%乙炔黑,10%PVDF)和锂金属负极组装Li||PH/β@PE||LFP扣式电池,使用新威电池测试仪在25℃下进行电池的充放电性能测试,范围为2.5~4.2V.

2 结果与讨论

2.1 PH/β@PE电解质复合膜的形貌及氧含量分析

通过SEM扫描电镜观察β-CD添加量不同时制备的PH/β@PE电解质复合膜的微观形貌,如图1所示.从图1(a)看出,未添加β-CD时,PH/β@PE-0电解质膜呈明显的团聚现象.添加质量分数1.0%的

β-CD时,制备的PH/β@PE-1电解质复合膜的团聚程度下降,如图1(b)所示.这可能是由于电解质膜制备过程中PVDF-HFP和β-CD之间的分子间氢键相互作用,以及结晶度降低所致^[21].β-CD质量分数增加至3.0%时,如图1(c)所示,PH/β@PE-2电解质复合膜的团聚程度进一步降低.当添加质量分数为5.0%β-CD时,如图1(d)所示,制备的PH/β@PE-3电解质复合膜的团聚程度最低.但当β-CD添加质量分数超过5.0%时,如图1(e)、1(f)所示,过量β-CD的堆叠导致β-CD与PVDF-HFP微观上形成相分离,影响了聚合物电解质的离子传输与界面相容性.因β-CD富含含氧基团,故对PH/β@PE复合膜表面的O元素进行EDS分析.如表1所示,未加入β-CD制备的PH/β@PE-0电解质膜的O元素质量分数为10.25%,主要来源于锂盐LiTFSI.随着β-CD添加量增加,制备的PH/β@PE复合膜表面的O元素含量增加,增加的O元素含量来源于β-CD中多羟基的O原子.PH/β@PE复合膜中O含量的提升为Li⁺提供了更多结合位点,一定范围内有助于提升PH/β@PE离子传输性能.

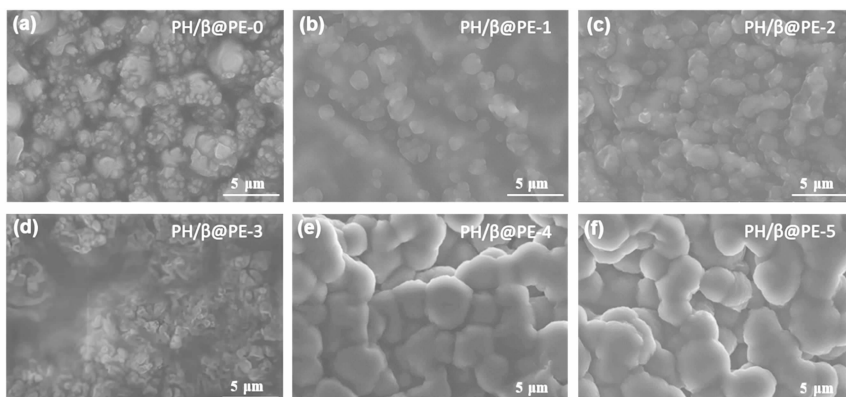


图1 PH/β@PE电解质复合膜的SEM表面形貌

Fig. 1 SEM images of PH/β@PE gel polymer electrolyte membrane

表1 PH/β@PE复合膜的O元素质量分数

Table 1 The content of O element in PH/β@PE composite membrane

序号	膜编号	O元素质量分数/%
1	PH/β@PE-0	10.25
2	PH/β@PE-1	11.23
3	PH/β@PE-2	11.93
4	PH/β@PE-3	12.36
5	PH/β@PE-4	13.30
6	PH/β@PE-5	15.45

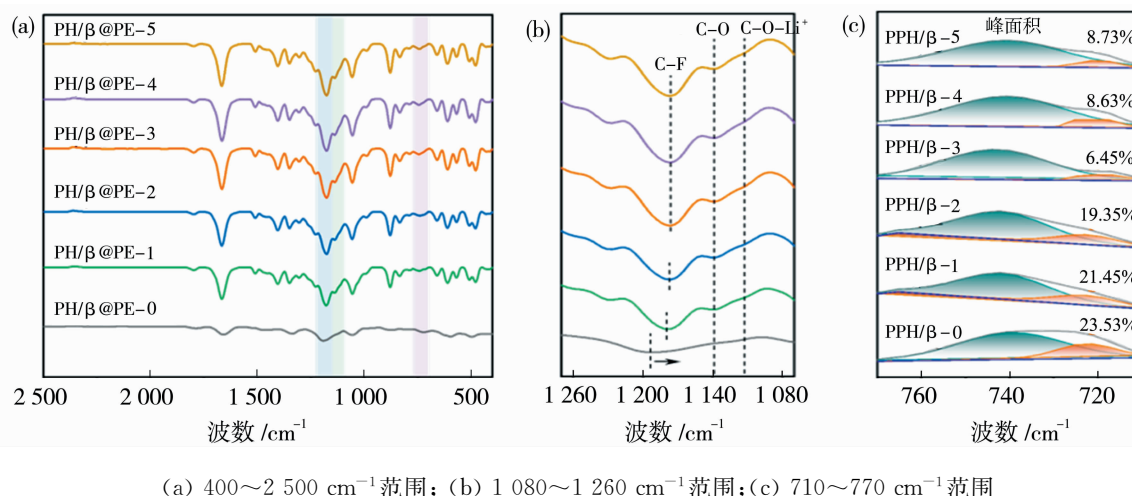
2.2 PH/β@PE电解质复合膜的红外光谱分析

为了探究β-CD与PVDF-HFP聚合物之间的相互作用以及电解质复合膜与Li⁺的作用机理,对PH/β@PE复合膜进行FT-IR光谱分析,结果如图2(a)所示,其中1 080~1 260 cm⁻¹范围内的FTIR光谱放大部分,如图2(b)所示.未添加β-CD时,制备的PH/β@PE-0在1 193 cm⁻¹显示C—F伸缩振动峰.添加质量分数为1.0%β-CD后,制备的PH/β@PE-1在该处的C—F特征吸收峰移至

1 180 cm⁻¹, 这归因于 PVDF-HFP 和 β -CD 之间的氢键作用, 使得吸收峰向低波数发生红移^[22]. β -CD 质量分数增加至 3.0%, 由于 F 原子与-OH 产生的氢键作用增大, 制备的 PH/ β @PE-2 在该处特征吸收峰进一步偏移至 1 178 cm⁻¹. 当 β -CD 质量分数增加至 5.0% 时, PH/ β @PE-3 的 C-F 特征吸收峰偏移最大, 至 1 176 cm⁻¹. 但当 β -CD 质量分数超过 5.0% 后, PH/ β @PE-4 与 PH/ β @PE-5 的 C-F 特征吸收峰与 PH/ β @PE-3 峰位保持一致, 这是由于 β -CD 与 PVDF-HFP 之间的氢键相互作用达到饱和并趋于稳定. 此外, 相比于未添加 β -CD 的 PH/ β @PE-0, 添加 β -CD 制备的 PH/ β @PE 均在 1 141 cm⁻¹ 处显示出 C-O 的特征峰, 由于 Li⁺ 与 C-O 中 O 原子的相互作用导致 C-O 官能团的电子云密度降低, 使 PH/ β @PE 红外特征峰红移至 1 112 cm⁻¹, 为 C-O-Li⁺ 特征峰, 表明添加 β -CD 可为 PH/ β @PE 凝胶聚合物电解质提供较多的离子传输路径.

由于 PH/ β @PE 电解质膜的锂离子传输不仅

依赖于传输通道, 还与 TFSI⁻ 的自由移动密切相关. 为了验证 PH/ β @PE 对 TFSI⁻ 的作用机理, 在 710~770 cm⁻¹ 范围内进行 FTIR 光谱分析. 图 2(c) 为解离 TFSI⁻ 中的 S-N-S 伸缩振动区域, 显示两个特征峰, 分别归属于固定的 TFSI⁻ (742 cm⁻¹) 和游离的 TFSI⁻ (718 cm⁻¹)^[23~24]. 未加入 β -CD 制备的 PH/ β @PE-0 中游离的 TFSI⁻ 峰面积为 23.53%. 加入质量分数为 1.0% β -CD 制备的 PH/ β @PE-1 电解质的游离 TFSI⁻ 峰面积降至 21.45%, 这是由于 TFSI⁻ 优先与 β -CD 中的-OH 结合^[25], 因此 β -CD 的添加限制了 TFSI⁻ 移动. 随着 β -CD 质量分数增加至 3.0%, PH/ β @PE-2 电解质的游离 TFSI⁻ 峰面积逐渐降低至 19.35%. 当 β -CD 质量分数为 5.0% 时, PH/ β @PE-3 电解质的游离 TFSI⁻ 峰面积最低(6.45%). 然而, 当 β -CD 质量分数超过 5.0% 时, PH/ β @PE 中游离 TFSI⁻ 峰面积值变化较小且趋于稳定, 是由于 TFSI⁻ 与 β -CD 中-OH 结合达到饱和, 因此饱和后的 β -CD 不能提高游离 TFSI⁻ 含量.



(a) 400~2 500 cm⁻¹ 范围; (b) 1 080~1 260 cm⁻¹ 范围; (c) 710~770 cm⁻¹ 范围

图 2 PH/ β @PE 复合膜的 FT-IR 光谱

Fig. 2 The FT-IR spectra of PH/ β @PE membrane

2.3 PH/ β @PE 电解质复合膜的表面润湿性和亲液性

通过动态接触角和吸液率探究 β -CD 对 PH/ β @PE 复合膜与电解液的润湿性及亲液性的影响. 图 3(a) 为 PH/ β @PE-0 及 PH/ β @PE-3 复合膜与电解液的动态接触角变化, 结果表明, 添加质量分数为 5.0% β -CD 制备的 PH/ β @PE-3 复合膜电解液接触角远低于未添加 β -CD 制备的 PH/ β @PE-0 复合膜, 0.5 s 时, PH/ β @PE-0 与 PH/ β @PE-3 复合

膜电解液接触角分别为 40.2° 与 8.7°. 此外, 电解液在 PH/ β @PE-3 膜表面的润湿速率明显高于 PH/ β @PE-0 复合膜, 表明 PH/ β @PE-3 复合膜具有较高的电解液润湿性与亲液性.

进一步测试 PH/ β @PE-0 与 PH/ β @PE-3 复合膜对电解液的吸液率, 结果如图 3(b) 所示, 未添加 β -CD 制备的 PH/ β @PE-0 复合膜对电解液的吸液率为 154.5%, PH/ β @PE-3 复合膜对电解液吸液率(339.8%) 明显高于 PH/ β @PE-0, 这是由于

β -CD的多羟基极性基团具有较好的亲液性^[26],显著增强了 β -CD改性后的PH/ β @PE-3复合膜与电解液的润湿性。此外,根据动态接触角的测试结

果,相比于PH/ β @PE-0,PH/ β @PE-3复合膜与电解液具有较好的亲液性与表面润湿性,因此,添加 β -CD有助于提升PH/ β @PE复合膜的吸液率。

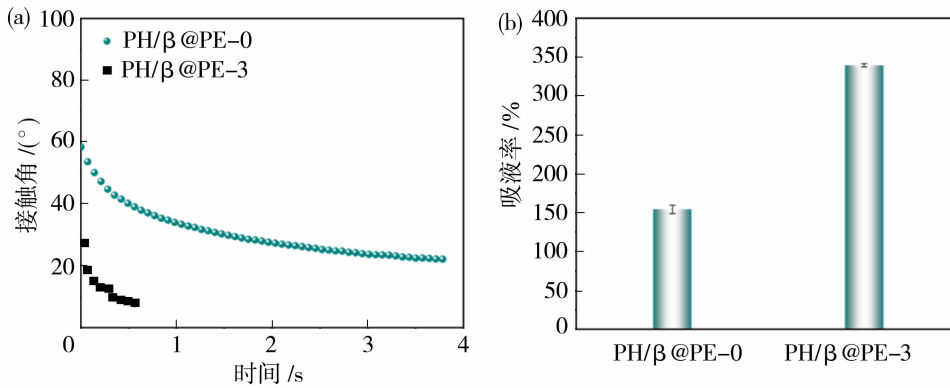


图3 PH/ β @PE-0与PH/ β @PE-3复合膜的动态电解液接触角(a)和电解液吸液率(b)

Fig. 3 Dynamic electrolyte contact angle (a) and electrolyte uptake (b) of PH/ β @PE-0 and PH/ β @PE-3

2.4 PH/ β @PE电解质复合膜的电化学性能

2.4.1 PH/ β @PE电解质复合膜的离子传输性能

在25 °C下,探究 β -CD添加量对聚合物电解质电化学性能的影响。图4(a)为不同 β -CD添加量制备的PH/ β @PE凝胶电解质的阻抗。结果表明,未添加 β -CD制备的PH/ β @PE-0凝胶电解质的阻抗为69.94 Ω,当 β -CD质量分数从1.0%增加至5.0%时,制备的PH/ β @PE凝胶电解质的阻抗由49.85 Ω降至30.76 Ω;继续增加 β -CD质量分数至9.0%时,PH/ β @PE-5凝胶电解质的阻抗略有上升,为41.29 Ω。计算的锂离子电导率和锂离子迁移数如图4(b)所示,可以看出,PH/ β @PE-0凝胶电解质的离子电导率为 2.13×10^{-4} S/cm,其锂离子迁移数为0.67。当 β -CD质量分数为1.0%时,PH/

β @PE-1凝胶电解质的离子电导率与锂离子迁移数分别增加至 2.84×10^{-4} S/cm与0.71。这是由于 β -CD的-OH基团与PVDF-HFP的F原子之间存在氢键作用力[图2(a)],形成的交联网络通道可以为Li⁺的定向传输提供路径。 β -CD中丰富的C-O键为Li⁺提供更多的配位点,促进Li⁺在PH/ β @PE凝胶电解质中的传输。此外,根据尺寸效应,TFSI⁻阴离子(直径0.79 nm)将被 β -CD(空腔尺寸0.6~0.65 nm)阻挡^[27],由于TFSI⁻与-OH基团之间的结合能(-325.1 kJ/mol)较强^[25],因而TFSI⁻优先与 β -CD中的-OH结合,限制了TFSI⁻移动[图2(b)],有助于Li⁺离子传输。随着 β -CD含量的增加,PH/ β @PE凝胶电解质的离子电导率及锂离子迁移数进一步增大,当 β -CD质量分

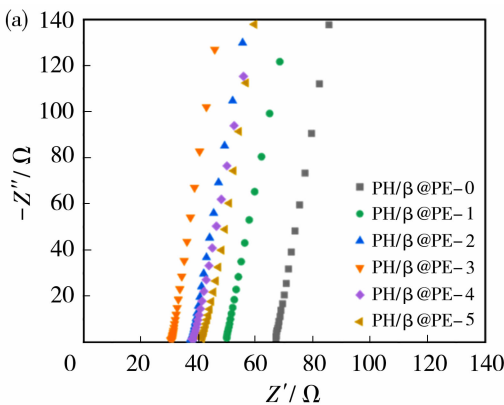
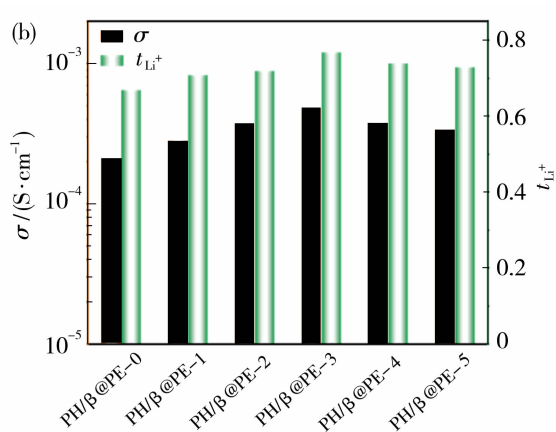


图4 在25 °C下,PH/ β @PE凝胶电解质复合膜的EIS阻抗图谱(a)

Fig. 4 The EIS spectrum (a) and the ionic conductivity and Li⁺ transport number (b) of PH/ β @PE composite membrane at 25 °C



数为 5.0% 时, 制备的 PH/ β @PE-3 凝胶电解质离子电导率与锂离子迁移数最高, 分别为 4.85×10^{-4} S/cm 与 0.77[图 4(b)]. 但当 β -CD 的质量分数超过 5.0% 时, PH/ β @PE 凝胶电解质的离子电导率及锂离子迁移数降低, 这是由于过量的 β -CD 在 PVDF-HFP/ β -CD 复合物中形成的相分离[如图 1(e)、1(f)], 阻碍了聚合物链段迁移, 影响了 PH/ β @PE 电解质的离子传输性能.

2.4.2 PH/ β @PE 电解质复合膜的界面相容性

为了探究制备的 PH/ β @PE 凝胶电解质与锂金属负极的界面相容性, 组装了 Li||PH/ β @PE||Li 对称电池, 测试了其界面阻抗、电压极化及循环稳定性. 如图 5(a) 所示, PH/ β @PE-0 的界面阻抗

为 82.80Ω , 制备的 PH/ β @PE-3 电解质的界面阻抗为 73.21Ω . 在 25°C , 电流密度为 $0.01 \text{ mA}/\text{cm}^2$ 条件下, 进一步测试电池的电压极化, 如图 5(b) 所示, Li||PH/ β @PE-0||Li 与 Li||PH/ β @PE-3||Li 对称电池均可稳定循环 1000 h, 未发生短路现象. 此外, 如图 5(b) 中插图所示, Li||PH/ β @PE-3||Li 电池的极化电压(0.009 V)低于 Li||PH/ β @PE-0||Li 电池(0.012 V), 表明 PH/ β @PE-3 凝胶电解质与锂金属负极间具有更好的界面相容性. 这归因于 PH/ β @PE-3 与电解液表现出更好的润湿性(图 3), 有助于形成高质量、稳定性强、高 Li^+ 导电性的固体电解质界面(SEI)膜^[28], 进而提高电解质与电极的界面相容性.

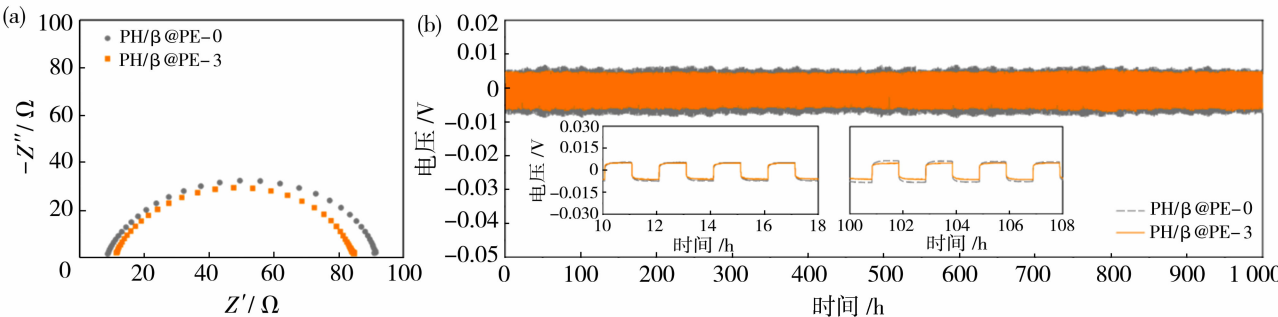


图 5 PH/ β @PE-0 与 PH/ β @PE-3 电解质的界面阻抗图谱(a)和 Li||PH/ β @PE-0||Li 与 Li||PH/ β @PE-3||Li 对称电池锂离子沉积/析出的时间-电压曲线(b) (插图为 10~18 h、100~108 h 的放大图)

Fig. 5 The EIS interface spectrum of PH/ β @PE-0 and PH/ β @PE-3(a) and the potential profiles of repeated Li plating/stripping in Li||PH/ β @PE-0||Li and Li||PH/ β @PE-3||Li symmetric batteries (b)
(The inserts are enlarged views of 10~18 h and 100~108 h)

2.4.3 PH/ β @PE 电解质复合膜的电化学稳定性

25°C 下, 通过线性伏安法(LSV)探究了 PH/ β @PE-0 与 PH/ β @PE-3 凝胶聚合物电解质的电化学稳定窗口, 如图 6 所示. 未添加 β -CD 制备的 PH/ β @PE-0 电解质的电化学稳定窗口为 4.9 V (vs Li^+/Li). 添加质量分数为 5.0% β -CD 时, 制备的 PH/ β @PE-3 电解质的电化学稳定窗口为 5.2 V (vs Li^+/Li), 较 PH/ β @PE-0 有所提高, 这是由于 PVDF-HFP 中 F 原子与 β -CD 中羟基形成氢键, 使分子间作用力增强, 其电化学稳定性能提高^[29].

2.5 Li||PH/ β @PE||LFP 电池的充放电倍率及循环性能

为了评价 PH/ β @PE 凝胶电解质在锂电池中的应用性能, 以磷酸铁锂(LFP)为正极, 锂金属作为负极, 组装 Li||PH/ β @PE-0||LFP 和 Li||PH/ β @PE-3||LFP 电池, 测试其充放电倍率及循环性

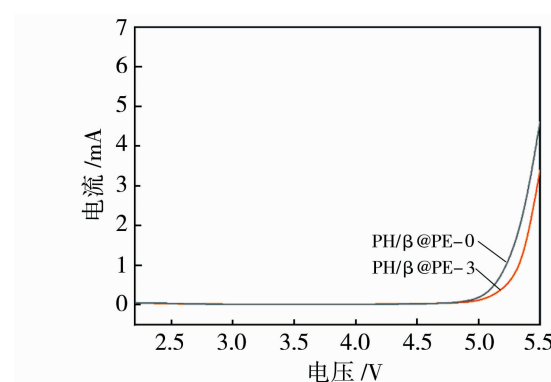


图 6 PH/ β @PE-0 与 PH/ β @PE-3 电解质的 LSV 曲线

Fig. 6 The LSV curves of PH/ β @PE-0 and PH/ β @PE-3

能. 图 7(a) 为 Li||PH/ β @PE-0||LFP 和 Li||PH/ β @PE-3||LFP 电池在 25°C 下的倍率性能. 从图 7(a) 中看出, 在较低倍率($0.1, 0.2, 0.3, 0.5 \text{ C}$) 的电

流密度下, $\text{Li}||\text{PH}/\beta@\text{PE}-3||\text{LFP}$ 的放电比容量 (168.1、152.0、123.5 mAh/g) 远高于 $\text{Li}||\text{PH}/\beta@\text{PE}-0||\text{LFP}$ 的放电比容量 (112.9、103.8、95.8 mAh/g), 表明 $\text{Li}||\text{PH}/\beta@\text{PE}-3||\text{LFP}$ 电池的性能优于 $\text{Li}||\text{PH}/\beta@\text{PE}-0||\text{LFP}$ 。这归因于 $\text{PH}/\beta@\text{PE}-3$ 凝胶电解质的高离子传输能力(图4)、良好的电化学稳定性(图6), 以及与锂金属优异的界面相容性(图5)。在较高倍率(1.0、1.5、2.0 C)下, $\text{Li}||\text{PH}/\beta@\text{PE}-3||\text{LFP}$ 电池的放电比容量略低于

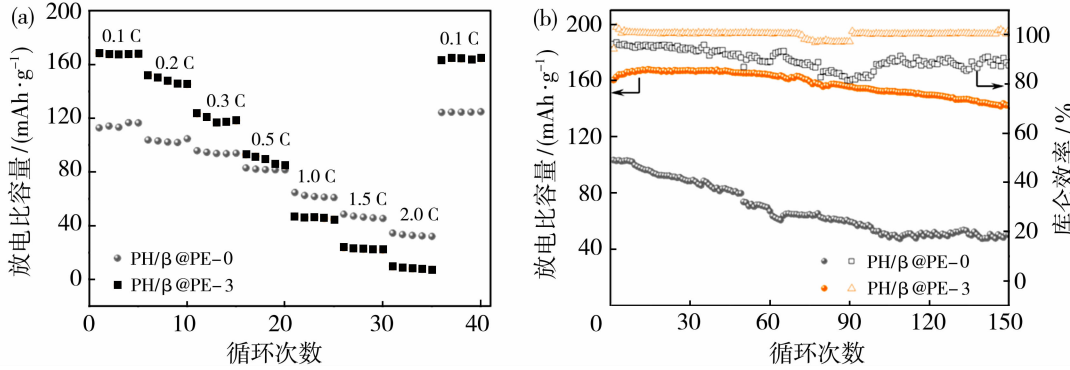


图 7 $\text{Li}||\text{PH}/\beta@\text{PE}-0||\text{LFP}$ 与 $\text{Li}||\text{PH}/\beta@\text{PE}-3||\text{LFP}$ 电池的充放电倍率性能(25 °C)(a) 和长期循环稳定性(25 °C, 0.1 C)(b)

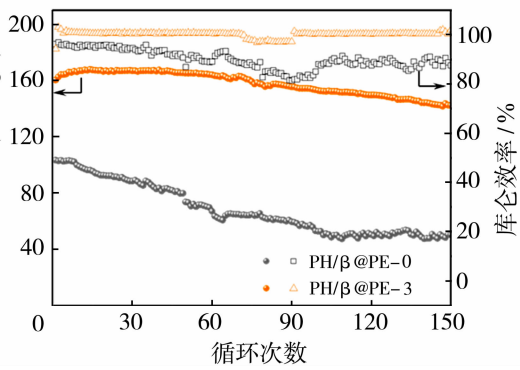
Fig. 7 The rate capability (25 °C) (a) and cycling stabilities (25 °C, 0.1 C) (b) of $\text{Li}||\text{PH}/\beta@\text{PE}-0||\text{LFP}$ and $\text{Li}||\text{PH}/\beta@\text{PE}-3||\text{LFP}$ batteries

在 0.1 C 下对 $\text{Li}||\text{PH}/\beta@\text{PE}-0||\text{LFP}$ 与 $\text{Li}||\text{PH}/\beta@\text{PE}-3||\text{LFP}$ 电池进行长期循环稳定性测试, 结果如图 7(b) 所示, $\text{Li}||\text{PH}/\beta@\text{PE}-3||\text{LFP}$ 电池的初始放电比容量为 160.4 mAh/g, 高于 $\text{Li}||\text{PH}/\beta@\text{PE}-0||\text{LFP}$ 电池 (103.5 mAh/g); 循环 150 圈后, 仍显示较高的容量保持率 ($\sim 90\%$) 与库仑效率 ($\sim 100\%$).

3 结论

将含 β-CD 的 PVDF-HFP 电解质溶液涂覆于预处理的 PE 基体上, 制备了 PVDF-HFP/β-CD@PE 复合凝胶聚合物电解质, 显示良好的电解液润湿性和较高的亲液性。当 β-CD 质量分数为 5.0% 时, 制备的 $\text{PH}/\beta@\text{PE}-3$ 电解质的综合性能最佳, 在 25 °C 下的离子电导率为 4.85×10^{-4} S/cm、锂离子迁移数为 0.77、电化学窗口为 5.2 V(*vs* Li^+/Li)。此外, 该凝胶电解质还显示较好的界面相容性、极化电势较低且稳定。组装的 $\text{Li}||\text{PH}/\beta@\text{PE}-3||\text{LFP}$ 电池在 0.1 C 下初始放电比容量为 160.4 mAh/g, 循环 150 圈后, 容量保持率为 $\sim 90\%$, 库仑效率为 $\sim 100\%$.

$\text{Li}||\text{PH}/\beta@\text{PE}-0||\text{LFP}$ 。主要是由于在高倍率条件下, PVDF-HFP/β-CD 聚合物的结构可能发生变化, 其中的锂离子扩散速率跟不上电子传输速率, 导致容量损耗^[30]。 $\text{Li}||\text{PH}/\beta@\text{PE}-3||\text{LFP}$ 电池在 0.1、0.2、0.3、0.5、1.0、1.5、2.0 C 的倍率下各循环 5 次后, 再恢复倍率至 0.1 C 时, 其放电比容量可恢复至 162.8 mAh/g, 仍高于 $\text{Li}||\text{PH}/\beta@\text{PE}-0||\text{LFP}$ 电池, 表明 $\text{PH}/\beta@\text{PE}-3$ 凝胶电解质具有优良的倍率性能。



参考文献:

- Zhou S, Huang P, Xiong T, et al. Sub-thick electrodes with enhanced transport kinetics via in situ epitaxial heterogeneous interfaces for high areal-capacity lithium ion batteries[J]. Small, 2021, 17(26): 2100778.
- Huang Y, Yang H, Xiong T, et al. Adsorption energy engineering of nickel oxide hybrid nanosheets for high areal capacity flexible lithium-ion batteries[J]. Energy Storage Mater, 2020, 25: 41–51.
- Yang Y, Wang W, Meng G, et al. Function-directed design of battery separators based on microporous polyolefin membranes[J]. J Mater Chem A, 2022, 10(27): 14137–14170.
- Liu Y, Zhang Z, Du X, et al. Poly(ether ether ketone) conferred polyolefin separators with high dimensional thermal stability for lithium-ion batteries[J]. ACS Appl Mater Interfaces, 2023, 15(31): 37354–37360.
- Zhang S S, Fan X, Wang C. Preventing lithium dendrite-related electrical shorting in rechargeable batteries by coating separator with a Li-killing additive[J]. J Ma-

- ter Chem A, 2018, 6(23): 10755—10760.
- [6] Huang Z, Chen Y, Han Q, et al. Vapor-induced phase inversion of poly (*m*-phenylene isophthalamide) modified polyethylene separator for high-performance lithium-ion batteries[J]. Chem Eng J, 2022, 429: 132429.
- [7] Dai J, Shi C, Li C, et al. A rational design of separator with substantially enhanced thermal features for lithium-ion batteries by the polydopamine-ceramic composite modification of polyolefin membranes[J]. Energy Environ Sci, 2016, 9(10): 3252—3261.
- [8] Chi M, Shi L, Wang Z, et al. Excellent rate capability and cycle life of Li metal batteries with $ZrO_2/POSS$ multilayer-assembled PE separators[J]. Nano Energy, 2016, 28: 1—11.
- [9] Zuo X, Wu J, Ma X, et al. A poly(vinylidene fluoride)/ethyl cellulose and amino-functionalized nano- SiO_2 composite coated separator for 5 V high-voltage lithium-ion batteries with enhanced performance[J]. J Power Source, 2018, 407: 44—52.
- [10] Wang Y, Shi L, Zhou H, et al. Polyethylene separators modified by ultrathin hybrid films enhancing lithium ion transport performance and Li-metal anode stability[J]. Electrochim Acta, 2018, 259: 386—394.
- [11] Shi C, Zhang P, Chen L, et al. Effect of a thin ceramic-coating layer on thermal and electrochemical properties of polyethylene separator for lithium-ion batteries [J]. J Power Source, 2014, 270: 547—553.
- [12] Zheng H, Xu G, Wu K, et al. Highly intrinsic thermally conductive electrospinning film with intermolecular interaction[J]. J Phys Chem C, 2021, 125(39): 21580—21587.
- [13] 王丹, 赵中令, 于力娜, 等. 商品化 PE 隔膜 PVDF-HFP 改性及性能研究[C]//中国汽车工程学会年会, 2013, 4: 459—462.
- [14] Cheng X, Pan J, Zhao Y, et al. Gel polymer electrolytes for electrochemical energy storage[J]. Adv Energy Mater, 2017, 8(7): 1702184.
- [15] Zhang M Y, Li M X, Chang Z, et al. A sandwich PVDF/HEC/PVDF gel polymer electrolyte for lithium ion battery[J]. Electrochim Acta, 2017, 245: 752—759.
- [16] 左晓希, 赵敏凯, 南俊民. 一种锂离子电池用凝胶聚合物电解质及其制备方法[P]. 中国: CN105119012A. 2015-07-16.
- [17] Zhai P, Yang Z, Wei Y, et al. Two-dimensional fluorinated graphene reinforced solid polymer electrolytes for high-performance solid-state lithium batteries[J]. Adv Energy Mater, 2022, 12(42): 2200967.
- [18] Xu D, Su J, Jin J, et al. In situ generated fireproof gel polymer electrolyte with $Li_{6.4}Ga_{0.2}La_3Zr_2O_{12}$ as initiator and ion-conductive filler[J]. Adv Energy Mater, 2019, 9(25): 1900611.
- [19] Zheng Y, Li X, Li C Y. A novel de-coupling solid polymer electrolyte via semi-interpenetrating network for lithium metal battery [J]. Energy Storage Mater, 2020, 29: 42—51.
- [20] Zheng Y, Yao Y, Ou J, et al. A review of composite solid-state electrolytes for lithium batteries: Fundamentals, key materials and advanced structures [J]. Chem Soc Rev, 2020, 49(23): 8790—8839.
- [21] Chen G, Zhang F, Zhou Z, et al. A flexible dual-ion battery based on PVDF-HFP-modified gel polymer electrolyte with excellent cycling performance and superior rate capability[J]. Adv Energy Mater, 2018, 8(25): 1801219.
- [22] Chen D, Zhu M, Kang P, et al. Self-enhancing gel polymer electrolyte by in situ construction for enabling safe lithium metal battery[J]. Adv Sci, 2021, 9(4): 2103663.
- [23] Cai X, Ding J, Chi Z, et al. Rearrangement of ion transport path on nano-cross-linker for all-solid-state electrolyte with high room temperature ionic conductivity[J]. ACS Nano, 2021, 15(12): 20489—20503.
- [24] Yu L, Yu L, Liu Q, et al. Monolithic task-specific ionogel electrolyte membrane enables high performance solid-state lithium–metal batteries in wide temperature range[J]. Adv Funct Mater, 2021, 32(14): 2110653.
- [25] Seo J, Lee G, Hur J, et al. Mechanically interlocked polymer electrolyte with built in fast molecular shuttles for all solid state lithium batteries[J]. Adv Energy Mater, 2021, 11(44): 2102583.
- [26] Wang P, Liang S, Chen C, et al. Spontaneous construction of nucleophilic carbonyl-containing interphase toward ultrastable zinc–metal anodes[J]. Adv Mater, 2022, 34(33): 2202733.
- [27] Qu X, Guo Y, Liu X. Highly stretchable and elastic polymer electrolytes with high ionic conductivity and Li-ion transference number for high-rate lithium batteries[J]. Chin J Chem, 2022, 40(21): 2559—2567.
- [28] Dong W, Ye B, Cai M, et al. Superwettable high-voltage $LiCoO_2$ for low-temperature lithium ion batteries[J]. ACS Energy Lett, 2023, 8(2): 881—888.
- [29] Wang H, Song J, Zhang K, et al. A strongly complexed solid polymer electrolyte enables a stable solid

state high-voltage lithium metal battery[J]. Energy Environ Sci, 2022, 15(12): 5149–5158.

[30] He Y, Jiang L, Chen T, et al. Progressive growth of

the solid-electrolyte interphase towards the Si anode interior causes capacity fading[J]. Nat Nanotechnol, 2021, 16(10): 1113–1120.

Properties of β-CD modified PVDF-HFP composite polyethylene gel polymer electrolyte

LI Mingye¹, LI Fan¹, ZHOU Jingyuan², GUO Hongxia¹

(1. College of Materials Science and Engineering, Beijing University of Technology, Beijing 100124, China;
2. Jiangsu Beixing New Materials Technology Co., Ltd., Changzhou 213300, China)

Abstract: PVDF-HFP/β-CD@PE composite gel polymer electrolyte (PH/β@PE) was prepared by solution casting method, with surfactant treated polyethylene (PE) membrane as substrate, poly(vinylidenefluoride-co-hexafluoropropylene) (PVDF-HFP) as the modified layer and β-cyclodextrin (β-CD) as an additive. The surface morphology, structure and electrochemical properties of gel polymer electrolyte membrane were characterized by SEM, FTIR, AC impedance and chronoamperometry. The effect of different β-CD amount on the ion transport performance of the electrolyte were investigated. The results indicate that the hydroxyl groups on the surface of β-CD can form hydrogen bonds with polyvinylidene fluoride copolymers, leading to physical cross-linking. Additionally, its macrocyclic structure can effectively immobilize anions as well as promote lithium ion migration. When the mass fraction of β-CD was 5.0%, the prepared PH/β@PE composite gel polymer electrolyte exhibited ion conductivity of 4.85×10^{-4} S/cm, lithium transference number of 0.77, and electrochemical stability window of 5.2 V (vs Li⁺/Li). The assembled Li||PH/β@PE-3||LFP battery has a discharge specific capacity of 160.4 mAh/g after 150 cycles.

Key words: polyolefin membrane; poly(vinylidenefluoride-co-hexafluoropropylene); β-cyclodextrin; gel polymer electrolyte

天津大学姜忠义团队 Angew:

磷酸限域于季铵化COF通道内助力超稳定/快速无水质子传输!

2025年1月9日,天津大学姜忠义教授团队在Angewandte Chemie International Edition期刊发表题为“Confining Phosphoric Acid in Quaternized COF Channels for Ultra-stable and Fast Anhydrous Proton Transport”的研究论文,团队成员逄霄为论文第一作者,姜忠义教授为论文通讯作者。

该研究将H₃PO₄引入到季铵化共价有机框架膜(QACOFMs)的正电荷纳米通道中,利用强静电相互作用和限域效应,在水合条件下实现卓越的H₃PO₄保留。此外,H₃PO₄@QACOFMs中H₃PO₄(O—H···O<2.7 Å, 1 Å=10⁻¹⁰ m)的氢键长度缩短,以及高度互联的氢键网络,促进了超快速无水质子传输。因此,H₃PO₄@QACOFMs在更宽的温度范围内(60~200 °C)表现出优异的无水质子传输性能,最高质子导电率达到约379.7 mS/cm(200 °C)。

研究人员将H₃PO₄掺入到季铵化共价有机框架膜(QACOFMs)中。具体而言,通过相转移聚合合成QACOF纳米片,随后在真空辅助下组装成QACOFMs,并进一步引入H₃PO₄。通过对季铵盐(QA)基团烷基链长度的精确调节,可以调节局部静电力强度,同时侧链的疏水性和位阻可以同时调控H₃PO₄分子在膜中的分布。与传统的聚电解质和COF粉末相比,QACOFMs提供了明确的一维通道,构建了源自H₃PO₄分子的高度互连的氢键网络。此外,强静电和毛细作用的引入显著稳定了纳米通道中的H₃PO₄分子,显著增强了H₃PO₄的保留能力。强静电相互作用还通过离子对相互作用(QA基团与HPO₄²⁻、H₂PO₄⁻之间)促进了质子解离,并将氢键长度缩短至小于2.7 Å。这些协同效应使H₃PO₄@QACOFMs能够在高温无水条件下实现优异的H₃PO₄保留能力和高质子导电性,有效解决了高温质子交换膜燃料电池(HT-PEMFCs)中的关键挑战。